

Инфо-индуцированные фазовые переходы и уменьшение энтропии объекта

М. Кринкер¹

Аннотация—В работе показаны результаты исследований фазовых переходов, индуцированных в воде и её растворах инфо-несущими картами компании BodyWell, излучением мобильного телефона и геометрическими контурами. Структурные переходы изучались методом модифицированного Дифференциального Термического Анализа, ДТА, и с помощью дифференциальной рН-метрии, ДрН.

Инфо-активированные карты компании BodyWell представляют собой алюминиевые пластины-матрицы, в которые, по описанию производителя, была инжектирована информация, содержащая данные о частотах ДНК, переходов в молекуле кислорода, ноте Си, некоторые спектральные частоты и т.д.

Технология инфо-активирования была разработана австрийским физиком Walter Zapf и была подробно изложена, в своё время, на сайте www.Mobiletek.biz. Активирование производилось в резонаторной камере, где создавалась система стоячих волн, в пучности которых размещались алюминиевые матрицы.

Компания Bodywell также экспериментировала со светодиодами излучателями для активации, на что им было указано автором, что неэлектромагнитная компонента в излучении светодиодов и лазеров была ещё ранее открыта А.В. Бобровым [1].

В настоящее время фирма подробно не излагает информацию в связи с патентованием, но общее представление о технологии можно получить в [2], [3], [4].

Технология применяется компанией BodyWell для снижения вредного воздействия мобильных телефонов на людей.

Защищающее действие инфо-карт частично основано на структурном упорядочивании био-ткани, проявляющееся в снижении их диэлектрических потерь, т.е. нагрева, излучением мобильного телефона. Такой нагрев особенно опасен для глаз человека. Кровеносные сосуды глаз не являются таковыми проточного типа, в отличие от других органов. Таким образом, высокочастотный нагрев не отводится и вызывает повышение давления в них и, как результат, повреждение с последующим кровотечением и обра-

зованием необратимого рубца на сетчатке. Неизлечимое на сегодняшний день заболевание AMD, Age-Related Macular Degeneration, Возрастное Повреждение/Деградация Центральной Части Сетчатки, часто становящееся причиной слепоты, происходит из-за повреждения мелких сосудов сетчатки [5]. С возрастом сосуды слабеют и становятся более уязвимыми к этому.

Такой же вред человеку могут причинять и близко-расположенные компьютерные роутеры, имеющие мощность излучения порядка 1 Вт при частоте излучения порядка 1-2 ГГц, и уж тем более, мощные антенны подстанций сотовой связи, располагаемые на крышах жилых домов.

Автор считает, что драматизм ситуации нахождения человека в поле действия современных средств связи отчасти объясняется тем, что их частоты излучения совпадают с широкой областью частотной дисперсии нашей биологической основы – молекул воды, где происходят максимальные диэлектрические потери в процессе релаксационного типа поляризации [6].

Поскольку вода составляет порядка 80% массы человека, она и её растворы явились первичным объектом исследования.

Но, может быть, ещё более важным является действие Торсионных Полей, генерируемых ЭМ излучением на человека [7]. Автор является сторонником концепции Торсионных Полей и Спиновых Процессов, согласно [7] и [1]. Кажущееся противоречие между двумя подходами видится как проявление одного и того же процесса при различных условиях. Но как бы мы ни называли эти явления, речь идёт прежде всего об экспериментальных фактах действия неэлектромагнитных процессов на вещество.

В то время, как влияние информации в картах на диэлектрические потери тканей изучались автором на эмулирующих растворах, влияние инфо-карт на ТП компоненту ЭМ излучения всё ещё не исследовано в полном объёме.

Предполагается спин-спиновое воздействие информации в картах на структуру вещества. Концепция спин-спинового взаимодействия достаточно хорошо развита А.В. Бобровым [1].

Автор данной публикации считает, что близкодействующее спин-спиновое взаимодействие и действие ТП на больших расстояниях являются двумя сторо-

¹ City College of Technology, Department of Electrical Engineering and Telecommunication Technology, CUNY, New York, mkrinker@aol.com

нами одной и той же “медали”. Здесь уместна аналогия между ближней и дальней зонами излучающей антенны. Ближняя зона – короткодействующая, порядка длины волны. Там реализуется закон Кулона для поля зарядов –потенциального/консервативного поля. Дальняя, или волновая зона, характеризуется более медленным спадом напряженности поля, уже ставшего вихревым, от расстояния.

Для всех экспериментов по влиянию информационных полей на объекты мы должны понимать, что действие полей происходит не только на сам объект, но и на датчик измеряемых параметров вещества. Было бы нелогично считать, что поле действует только на квантовую структуру жидкого вещества, но обходит квантовую структуру твердотельного датчика с его большей плотностью дискретных уровней.

Правильно было бы говорить о действии инфополя на систему объект-датчик и инфо-взаимодействие между ними.

I. МЕТОДЫ ИССЛЕДОВАНИЯ – DTA И DPH

Применяемые в работе методы являются дифференциальными.

Подразумевается, что единственным различием между внешне симметричными объектами в каналах измерения является наличие специальной информации на одной из карт. Первоначально, в каналах использовались две карты из одинакового материала. Уже первые измерения показали, что расево-карта не вызывает заметной перестройки структуры, и далее использовалась только одна карта – инфо-активированная, при этом вся остальная симметрия схемы сохранялась.

Читателя не должно мистифицировать название карт – Red Card, Blue Card, и т.д. Это всего лишь отражение размеров карт, и некоторое различие в методах инъекции информации, технологические тонкости и вариации метода, которые компания BodyWell не раскрывала, предпочитая проведение “слепого” эксперимента для научной достоверности. При этом базовая методика активации оставалась более или менее неизменной.

Следует добавить, что, в общей сложности, были проведены десятки экспериментов по каждой методике. Погрешность измерений показана ниже, после описаний методик эксперимента.

Кроме описанных методик применялись и другие – например, измерение комплексной диэлектрической проницаемости, энтропии в электрическом поле специальных стандартных растворов, имитирующих электрофизические свойства человеческой ткани и измерение показателя преломления этих растворов под действием инфо-карт и излучения мобильных телефонов.

Эти результаты здесь не приводятся из-за большого объема данной работы, но автор надеется опубликовать их, как вторую часть работы, позднее.

A. DTA

Для исследований применялось изготовленное лабораторное устройство, состоящее из термисторного моста и усилителя. Усиленный сигнал подавался на вход компьютерного регистратора DATAQ-DI-149.

В отличие от классического DTA, где фазовые переходы происходят при изменении температуры вещества, в данном случае изменение температуры вообще не производилось, т.к фазовые переходы инициировались информацией карт, подкладываемых под сосуд с водой. Таким образом, изучалась зависимость разностей температур инфо-активируемой и контрольной воды от времени.

Рис. 1 показывает блок-схему DTA-установки.

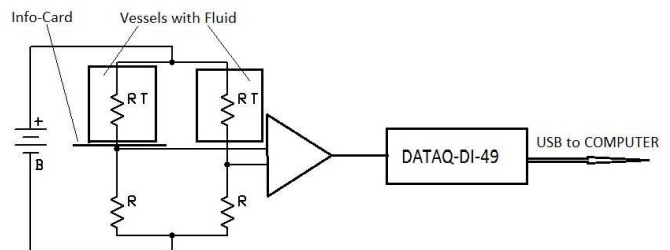


Рис. 1. Блок-схема DTA эксперимента по инфо-индуцированным фазовым переходам.

Исследуемая и референтная жидкости помещались, в равных объемах, 30 ml, в термоизолирующие закрытые стаканчики, куда опускались термисторные датчики RT (термистор B57235SO, компания EPCOS).

Расстояние между стаканчиками, с подложенными под них картами, активированной и пустой, было порядка 25 см для уменьшения влияния активированной карты на референтную жидкость.

Вода для экспериментов предварительно отстаивалась в течении нескольких часов для достижения комнатной температуры и дегазации. Инфо-карты, для установки под сосуд с водой, брались пинцетом, для исключения нагрева от тела экспериментатора. Таким образом, вода в сосудах и карты были термодинамически равновесны до взаимного контакта.

Запись начиналась с установления термодинамически-равновесного режима, без каких-либо карт под сосудами. Необходимость повторного термо-балансирования была вызвана неизбежным движением массы воды при заправке и контактом стаканчика с оператором.

Достижение равновесия выглядело как появление устойчивого горизонтального участка на записи. Обычно, на это уходило несколько минут. После достижения термодинамического равновесия, когда температуры жидкостей выравнивались и становились равными комнатной температуре, происходило подкладывание карты под один из сосудов.

При этом делалась отметка на записи.

Запись производилась, в общей сложности, в течении нескольких десятков минут, в процессе чего карта удалялась, но запись продолжалась для наблюдения процессов релаксации структуры.

После нескольких измерений устройство перемещалось, т.к. при периодическом подкладывании инфо-карты на одно и то-же место возникал Фантом-эффект (см. ниже). При перемещении сосудов проверялось наличие линий ГПЗ с помощью прибора SEVA [8] для избежания контакта с ними.

В. Дифференциальная рН-метрия

Дифференциальный рН-метр был разработан автором ранее [9], [10] и уже применялся для исследований структурных изменений в воде, на которую воздействовали вращающиеся электромагнитные поля и геометрические контура. Блок-схема устройства показана на Рис. 2.

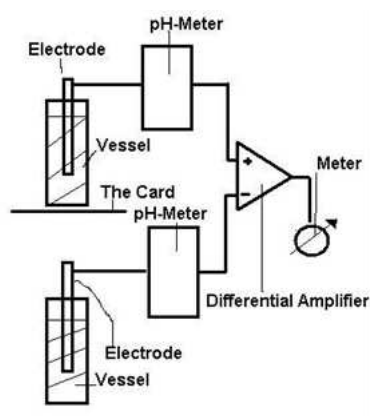


Рис. 2. Блок-схема дифференциального рН-метра.

Следует учесть, что под рН-метром на схеме имеется в виду прибор с аналоговым выходом. Современные цифровые приборы имеют т.н. “аналоговый выход”, который таковым не является. Это дискретный выход с шагом 0.01 рН, что недостаточно для реализации высокочувствительного прибора для структурных исследований. По этой причине, в качестве рН-метров (на схеме) применялись самостоятельно изготовленные аналоговые электрометрические усилители.

Применялись стандартные промышленные электроды. Чувствительность прибора была порядка 1000 мВ/рН. Также как и в случае с ДТА, применялась предварительно отстоянная вода комнатной температуры.

Следует добавить, что методика изучения действия мобильных телефонов и противостоящей им инфо-карты, и действие нарисованных контуров не отличалась от вышеизложенного для ДТА и ДрН инфо-карт. В случае мобильных телефонов, инфо-карта под сосуд с водой подкладывалась заранее, а телефон располагался вплотную к сосуду. Затем производился вызов этого телефона и делалась отметка Start на записи. При этом его антенна начинала непрерывно излучать. По

окончании 5-10 мин коммуникации, делалась отметка Stop, но запись ещё продолжалась некоторое время.

С. Погрешность экспериментов

Погрешность измерений определялась исходя из физической чувствительности датчиков и вторичных устройств, а также физической стабильности всей дифференциальной сбалансированной системы при отсутствии возмущающего фактора - алюминиевых матриц с инжектированной информацией.

На графиках показана цена деления как для ДТА так и для ДрН экспериментов. Исходя из стабильности записанной линии баланса и цены деления, погрешность для ДТА экспериментов была определена как $\pm 0.001K$, а для ДрН - ± 0.01 .

Рис. 3 иллюстрирует такой подход к определению погрешности изменений температуры. Оценка производилась по стабильности нулевой линии до появления инфо-носителя. Наибольшие колебания нулевой/балансной линии представляют собой погрешность ΔT , которая состоит из статистически равноценных отклонений в обе стороны. Таким образом, для практического результата (см., например, Рис. 4, 5, 6, 10), показанного в увеличенном виде на Рис. 3 для одной клетки, погрешность $\Delta T = 0.002K = \pm 0.001K$.

Реализация такой чувствительности стала возможной благодаря применению специальных мер. Дифференциальный метод уже сам по себе очень чувствителен. Кроме того, как уже указывалось, применялись термоизолирующие пенопластовые контейнеры для исключения теплообмена с внешней средой, включая экспериментатора. Лаборатория была практически безлюдна, и никто не подходил к устройству ближе чем на 3 метра во время эксперимента. Также следует учесть, что дифференциальный усилитель сигнала термисторного моста подавляет синфазный электрический сигнал, в который могут преобразоваться нежелательные артефакты.

Следует добавить, что такая низкая погрешность стала возможной при измерении только относительного изменения температуры, а не её абсолютного значения, которое равнялось комнатной температуре.

Применение локального термостатирования установки именно в методе ДТА принципиально невозможно, т.к. будет нивелировать искомый сигнал изменения температуры.

II. РЕЗУЛЬТАТЫ ИЗМЕРЕНИЙ. ОБСУЖДЕНИЕ

На ДТА и ДрН диаграммах указаны масштабы и максимально достигнутые за время записи изменения. Если их нет на диаграмме, они приведены под рисунком. Коэффициент преобразования ДТА датчика составлял 600 мВ/К. Зная размах шкалы, можно определить изменение температуры. В тех случаях, когда видна не вся шкала, приведена температурная чувствительность записи, К/дел. Скорость записи варьирует и указывается отдельно, с/дел. (s/div).

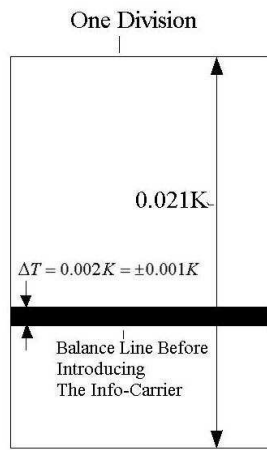


Рис. 3. К вопросу о погрешности измерения изменений температуры в DTA методе.

А. DTA-эксперименты

На Рис. 4-10 показаны результаты DTA-измерений для воды и растворов сахара в ней.

В процессе действия инфо-карты происходит незначительное монотонное увеличение температуры воды или раствора, не более 0.1K. В то же время, просматриваются отдельные пики фазовых переходов. Увеличение температуры свидетельствует о выделении теплоты при переходе структуры в более упорядоченное состояние. Формально, это напоминает фазовый переход 1-го рода, кристаллизацию, но таковым здесь не является. В то же время считается, что фазовые переходы 2-го рода не сопровождаются выделением и поглощением тепловой энергии.

1) *Появление электрических флуктуаций, шума, при инфо-индукции:* Другим значительным явлением следует считать появление электрических флуктуаций, шума, при инфо-индукции.

Шум возникает не сразу после появления карты, и так же не сразу исчезает после её удаления. Шум может быть связан с процессом структурной перестройки подструктур воды. На Рис. 4-6 отчетливо видно, как шум постепенно формируется, особенно в районе пиков фазовых переходов, как на Рис. 6.

Не исключено, что это проявление спин-фононного взаимодействия [11].

2) *Фантом-эффект:* При многократных измерениях на одном и том же месте наблюдалось впечатывание информации от карт в структуры платформы-стола. При этом, тяжело было достигнуть баланса нулевой линии, т.к. информация начинала действовать сразу, ещё до установки инфо-карты. Такая ситуация видна на Рис. 7. По этой причине, положение сосудов с водой периодически менялось.

Рис. 4 и 5 имеют качественное сходство, но и различие тоже. Обе инфо-индукции производились с помощью карт одного типа, но различных сроков изготовления. Интервал между их производством состав-

ляет 2 года. Возможно, этим и объясняется некоторое различие динамик хода DTA.

3) *Зеркальный эффект. Структурная память раствора:* На Рис. 8-9 зафиксировано изменение температуры при одновременном действии инфо-карты и мобильного телефона в режиме передачи.

Было проделано два эксперимента в один и тот же день с тем-же веществом и при одних и тех-же условиях. Рис. 8 и 9 представляют каждый из них. Обращает на себя внимание удивительное сходство двух записей, что говорит о воспроизводимости эффекта.

Инфо-карты частично блокировали эффект действия излучения на структуру воды. При их действии происходит как бы обратная развертка диаграммы, что является свидетельством структурной памяти раствора.

Следует отметить эффект опережения во времени, когда структурные изменения начались еще до действия телефона с картами. Тогда же появляется и шум на записи – правая часть диаграммы после длинной вертикальной линии.

Структурный Эффект опережения во времени очень напоминает Триады Шкатова, при котором приём Торсионного сигнала происходит ещё до включения передатчика и уже после его выключения [12], [13].

4) *Влияние контуров на структуру:* Рис. 10 показывает DTA воды при действии нарисованного контура спирали (по часовой стрелке). Наблюдается выделение тепла, говорящее об упорядочивании структуры. Влияния контуров спиралей разной хиральности проделывалось ранее с дифференциальным рН-метром [9], [10] (см.ниже). Там был выявлен эффект противоположного действия различных закруток нарисованных спиралей. Как и ранее, при инфо-индуцированном фазовом переходе, наблюдаются шум-осцилляции на линии записи.

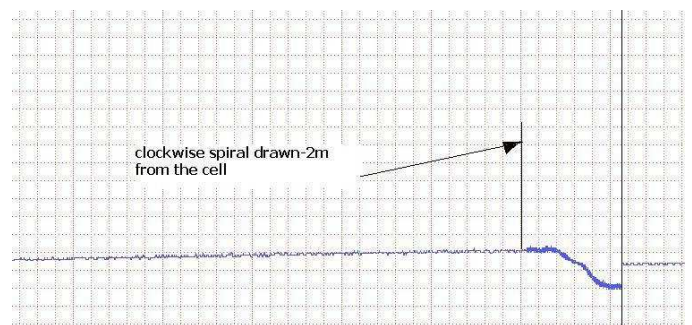


Рис. 10. DTA эффект при внесении нарисованной спирали (ориентация по часовой стрелке) в зону сосуда с водой. Просматривается шум при структурном изменении с момента действия контура. Наблюдается выделение тепла. Запись слева от стрелки показывает DTA без рисунка спирали. Длинная вертикальная линия – граница между двумя страницами записи. 0.022 K/дел; 24 с/дел.

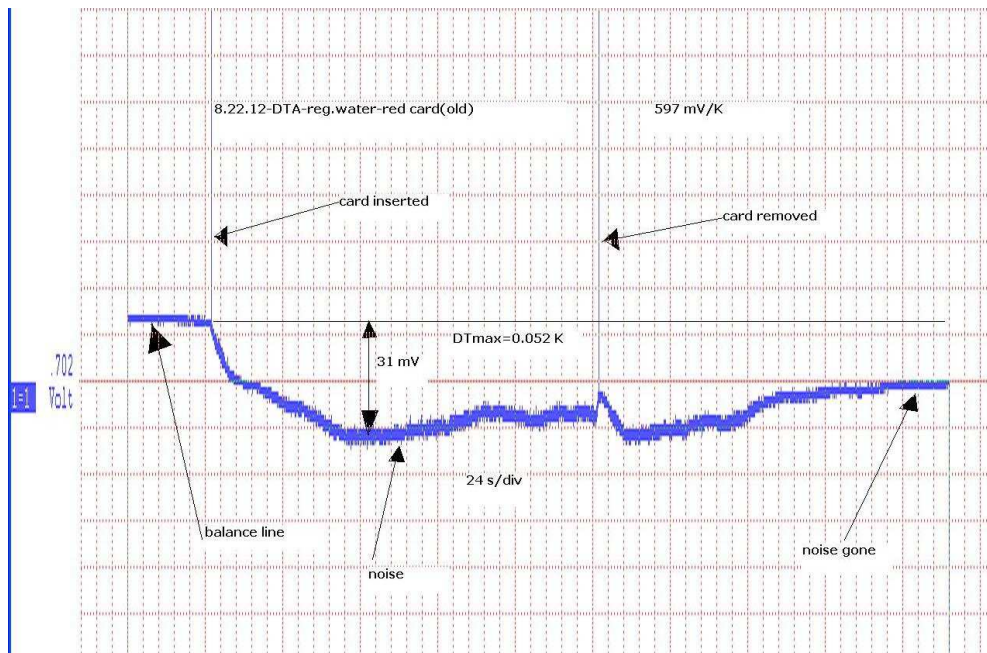


Рис. 4. DTA воды в процессе действия, а затем удаления инфо-карты, рекомендуемой компанией BodyWell для улучшения качества напитков (red card). Отчётливо видно появление электрического шума в процессе структурной перестройки после внесения инфо-карты. После удаления инфо-карты шум постепенно исчезает.

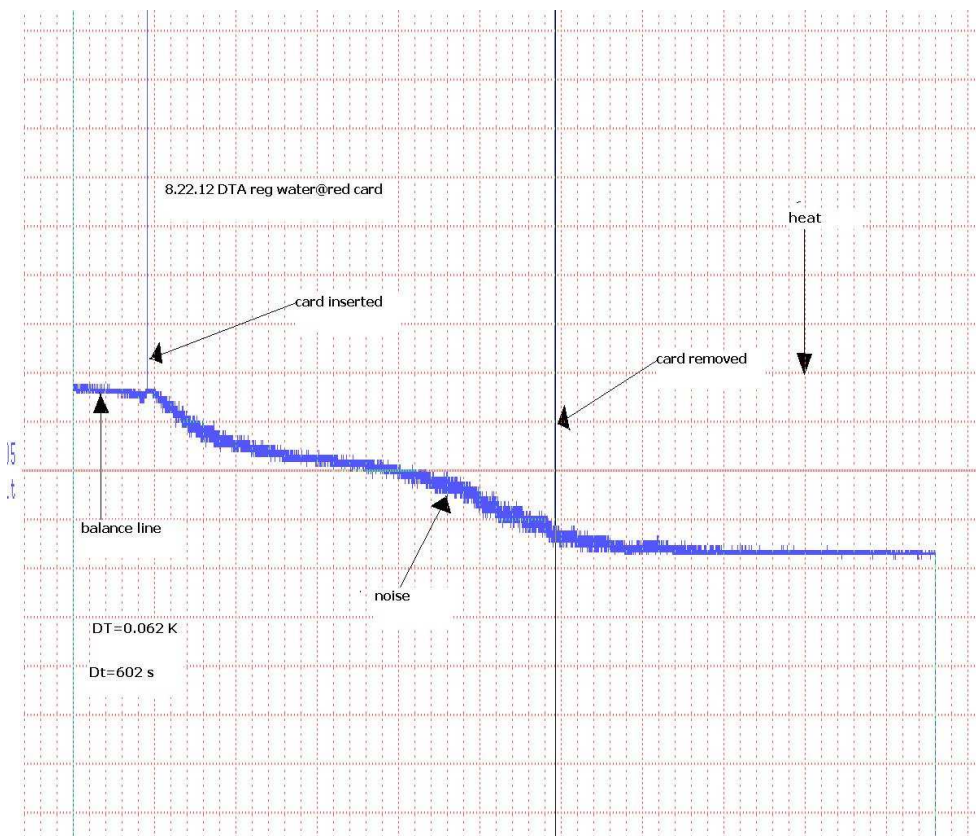


Рис. 5. DTA воды под влиянием red card более позднего срока изготовления. Отчётливо видно появление электрического шума в процессе структурной перестройки после внесения инфо-карты. После удаления инфо-карты шум постепенно исчезает.

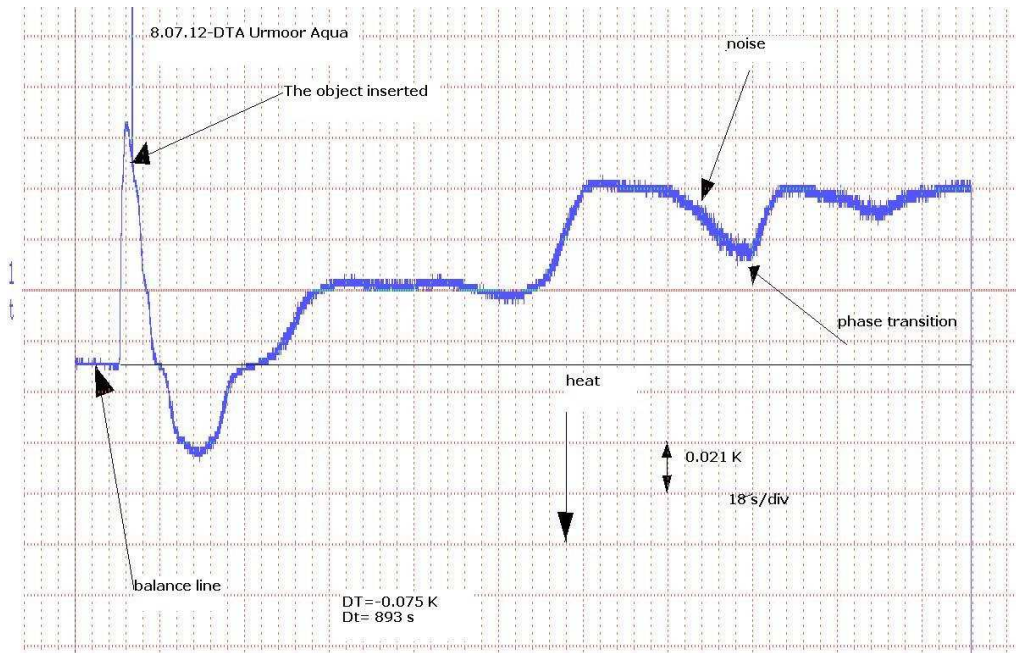


Рис. 6. DTA воды после погружения в сосуд цилиндрического активатора воды Urmoor Aqua. Эффект Электрического Шума отчётливо наблюдается.

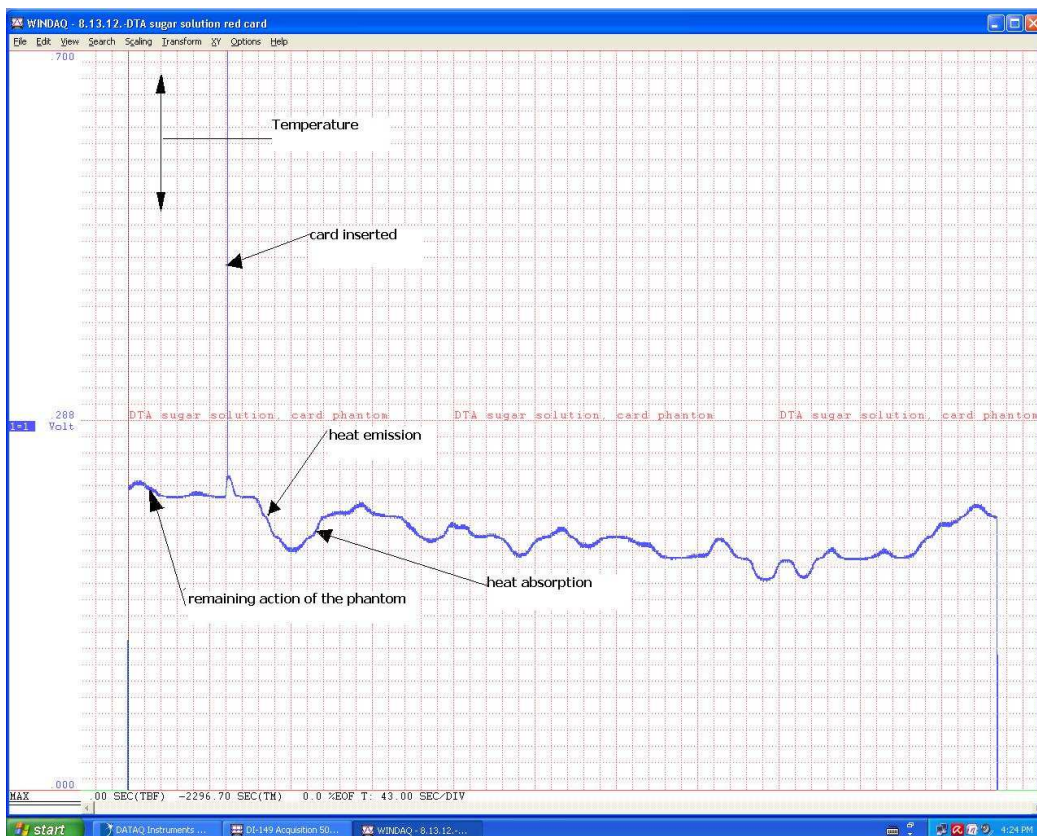


Рис. 7. DTA инфо-действия red card на раствор сахара в воде. Здесь отчётливо наблюдается влияние инфо-фантомов места измерения (в результате повторных предшествующих измерений) на результат измерения. 0.024 K/дел.; 47 с/дел.

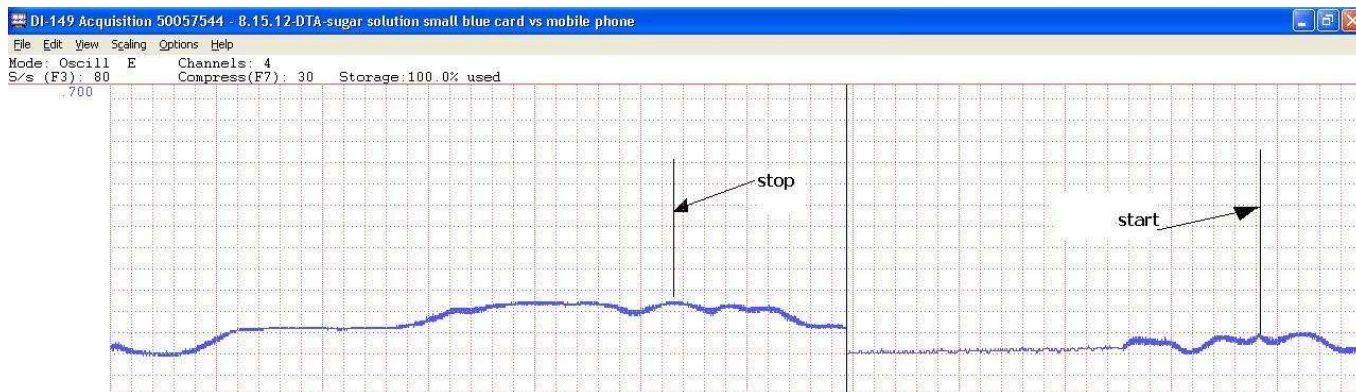


Рис. 8. Зеркальный DTA-эффект при действии инфо-карты и мобильного телефона. При внесении инфо-карты, структура сахарного раствора воды претерпевает зеркальные изменения во времени. Такое же действие происходит при удалении инфо-карты и мобильного телефона. Симметрия отчётливо видна по обе стороны линий начала и конца действия мобильного телефона с инфо-картой. Эффект возникает с упреждением по времени. 0.024 К/дел; 24 с/дел.

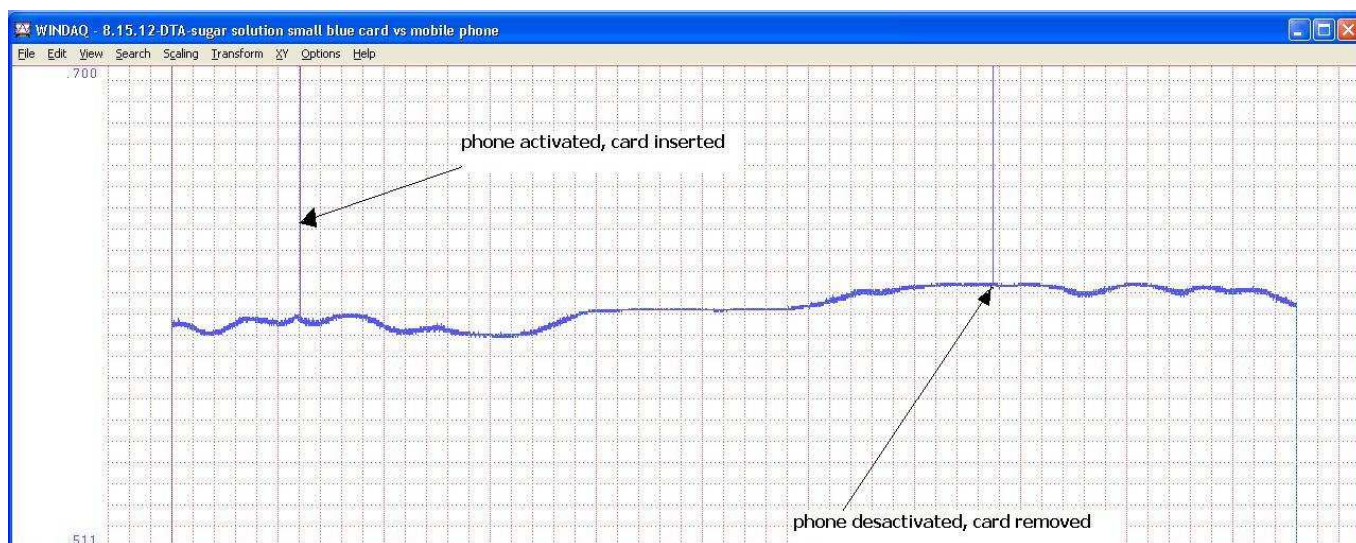


Рис. 9. Повторный Зеркальный DTA-эффект в другом эксперименте при действии инфо-карты и мобильного телефона. При внесении инфо-карты, структура сахарного раствора воды претерпевает зеркальные изменения во времени. Такое же действие происходит при удалении инфо-карты и мобильного телефона. 0.024 К/дел; 24 с/дел.

В. Исследование инфо-индуцированных структурных изменений с помощью pH-индекса

Рис. 11-18 показывают результаты исследования инфо-индуцированных эффектов по pH-индексу.

Следующие соображения должны быть приняты во внимание.

Предполагается, что поскольку инфо-индукция упорядочивает структуру и понижает энтропию, (как это подтверждает DTA), то это должно сказаться и на подвижности ионов гидрония H_3O^+ . Она должна понизиться, что будет восприниматься как увеличение pH. Т.е., pH будет смещаться в щелочную сторону. Однако, это ещё не означает увеличение активности ионов OH^- .

Рис. 11 выявляет чёткий фазовый переход при внесении инфо-карты. Даже после перехода и удаления инфо-карты прибор регистрирует снижение активности ионов гидрония – продолжается структурное упорядочивание под действием инфо-индукции.

Рис. 12 также показывает структурные изменения в воде и её растворах под действием инфо-карты другого типа, Equalizer. Но результат всегда один и тот же – снижение активности ионов гидрония в результате структурного упорядочивания.

Рис. 13 показывает результат использования СИМ-карты, специально инфо-активированной, для блокировки вредного действия мобильного телефона.

Компания Bodywell экспериментировала со стандартными СИМ-картами, подвергнутыми специальной обработке (вероятно, по методике, показанной выше) для инфо-блокировки вредного действия мобильных телефонов. Обычная инфо-карта этой компании прикрепляется к мобильному телефону, а СИМ-карта всегда в нём.

При исследовании pH, её действие проявилось в уменьшении активности ионов гидрония, т.е. увеличении pH – розовая линия. Для сравнения показано действие СИМ-карты, не подвергнутой такой обработке –

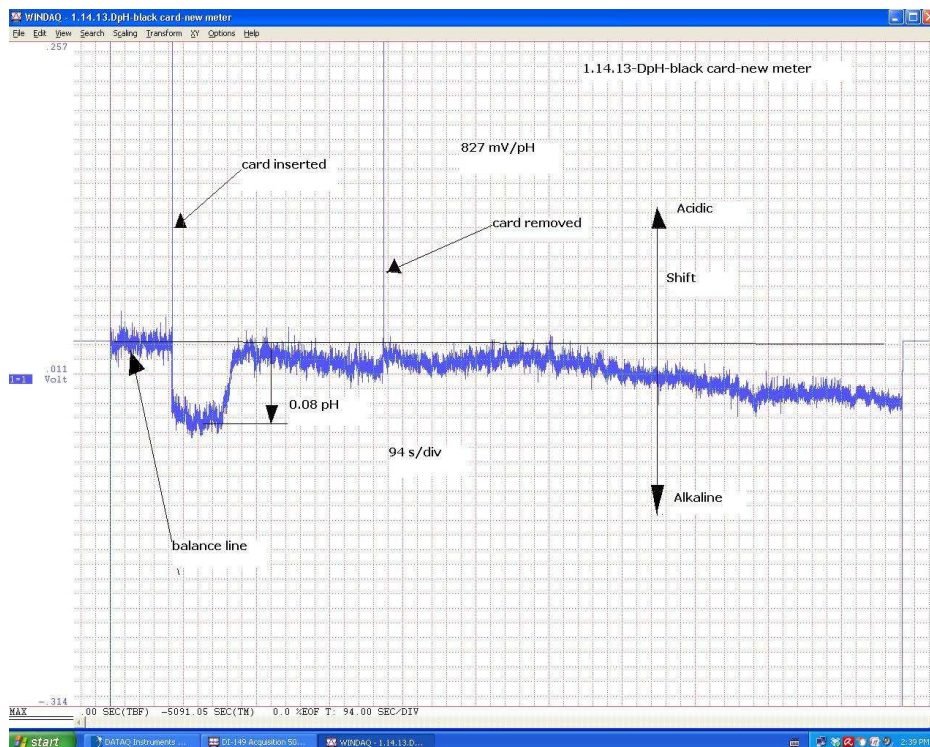


Рис. 11. Структурные изменения в воде, инициированные инфо-картой Black Card. Виден пик фазового перехода после внесения карты. Процесс структурного упорядочивания продолжается даже после удаления инфо-карты.

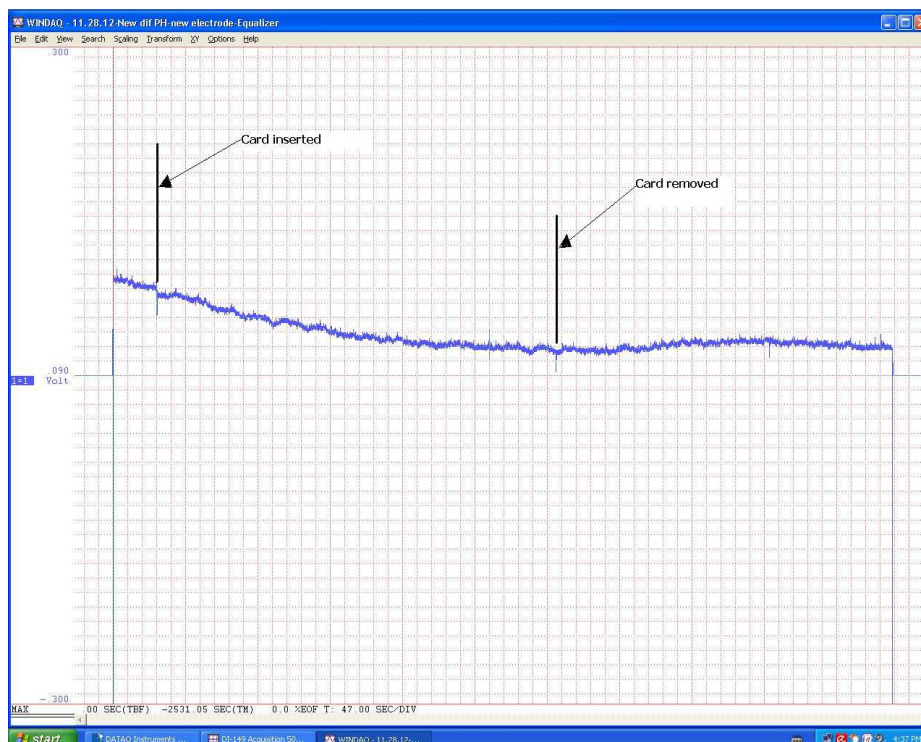


Рис. 12. Действие инфо-карты Equalizer на pH воды. Прибор показывает уменьшение активности ионов гидрония H_3O^+ , что воспринимается как смещение в щелочную сторону. Чувствительность – 0.016 pH/дел.; 47 с/дел. Уменьшение pH – 0.081.

синия линия. Она практически не изменяет рН.

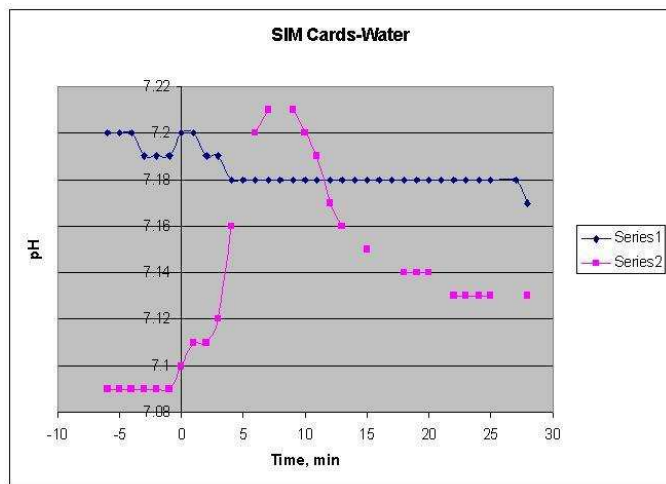


Рис. 13. Сравнительные рН-характеристики применения специально активированной СИМ-карты как инфо-индуктора, розовая линия. SIM=Subscriber Identity Module. Момент 0 - внесение инфо-карт. Видно значительное уменьшение активности ионов гидрония H_3O^+ под действием карты, прошедшей специальную обработку – розовая линия. Синяя линия – действие СИМ-карты, не прошедшей специальную инфо-обработку.

Ранее автором проводились эксперименты по установлению аналогии между действием графической информации и действием вращающихся электрических полей на рН воды [9], [10].

На Рис. 14 показан результат дифференциального рН-эксперимента, при котором левозакрученная нарисованная спираль действовала на один рН-электрод, а правозакрученная – на другой. В случае их идентичного действия, на записи должна была бы быть прямая линия, однако, вместо этого мы видим “состязание” двух процессов с различным временем релаксации. Таким образом, хиральность контура действует на структуру вещества.

На Рис. 15 показано действие вращающихся электрических полей противоположных направлений на дифференциальный рН-индекс двух одинаковых порций воды в ячейках противоположного полевого вращения. Мы видим качественное сходство результатов с экспериментом по влиянию графических контуров на рН.

Рис. 16 и 17 показывают изменение рН воды под действием информации на компакт-дисках. Видна разница действия отличающихся типов информации.

При длительной экспозиции, между инфо-картой и водой устанавливается своеобразное инфо-термодинамическое равновесие. При удалении карты, баланс быстро нарушается, что отражается и на рН.

Рис. 18 показывает рН-реакцию на удаление Red Card после длительной, порядка десятков минут экспозиции.

В дополнение к ДТА и ДрН эффектам стоит добавить, что Red Card применяется компанией Bodywell для улучшения качества напитков. Уже после 3 минут

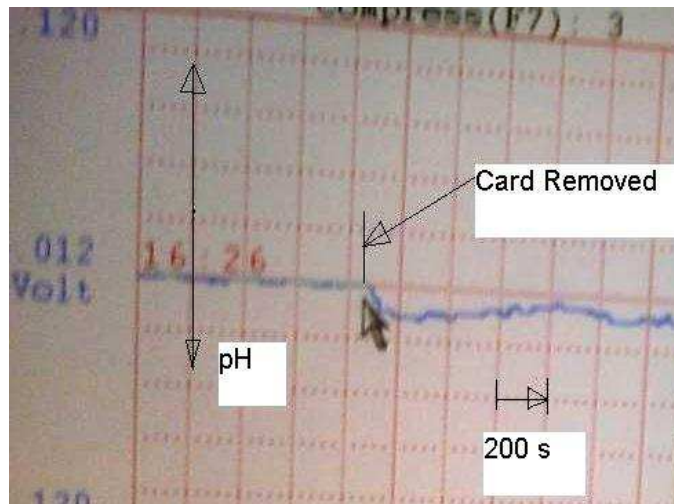


Рис. 18. Удаление Red Card, после длительной экспозиции, вызывает ответную рН-реакцию воды, 0,024 рН/div, 200 s/div.

пребывания над картой, заваренный чай приобретает утонченный аромат. Причём, первый эффект применения сильнее, чем последующие, что напоминает известный эффект “увядания” результатов измерения эффектов Торсионных Полей.

1) *Статистическая значимость наблюдаемых эффектов:* Оценивая полученные данные, надо помнить, что время каждого эксперимента было ограничено, в среднем 20-30 мин. между установкой и удалением инфо-активатора. Можно предположить, что были бы получены более сильные эффекты при большей экспозиции.

Было проделано в общей сложности 47 ДТА экспериментов и 35 ДрН экспериментов.

Примерно в 70% ДТА экспериментов наблюдались эффекты выделения и поглощения тепла в воде и её растворах при появлении инфо-носителя.

В большинстве случаев наблюдалось именно выделение тепла.

Повышение температуры не превышало 0.1К.

Для ДрН измерений вероятность наблюдения эффекта была 80-85% и, как правило, сопровождалась увеличением рН, что трактуется, как уменьшение активности ионов гидрония. Типично наблюдаемые увеличения рН были в интервале 0.03–0.08, но в отдельных случаях наблюдались увеличения рН вплоть до 0.35.

Как для ДТА, так и для ДрН наблюдалась временная вариация результатов.

Временная вариация ДТА и ДрН эффектов говорит о целесообразности исследовать корреляцию этих явлений с Космическими циклическими процессами.

2) *Связь наблюдаемой инфо-структурирующей индукции в воде с другими близкими явлениями:* На первый взгляд может показаться, что данные, сообщенные в этом разделе, разнородны. Но, по мнению автора, их объединяет общая основа - спин-спиновые взаимодействия. Это большое объединяющее начало позволяет лучше понять процессы, показанные выше.

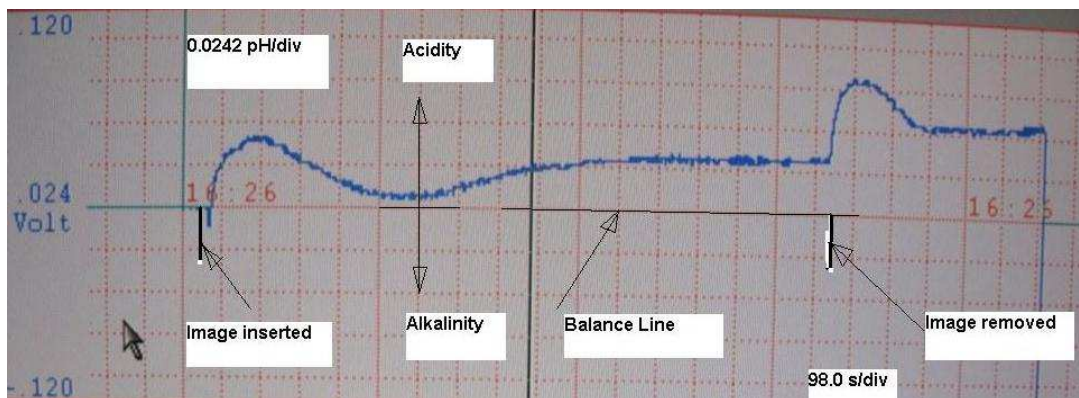


Рис. 14. Действие нарисованных спиралей различной закрутки на одинаковые порции воды – дифференциальная рН-метрия. Диаграмма показывает динамику разностей рН двух одинаковых порций воды под действием нарисованных спиралей противоположной закрутки. Изображения спиралей размещались под стаканчиками с водой. На записи отмечены моменты внесения и удаления изображений.

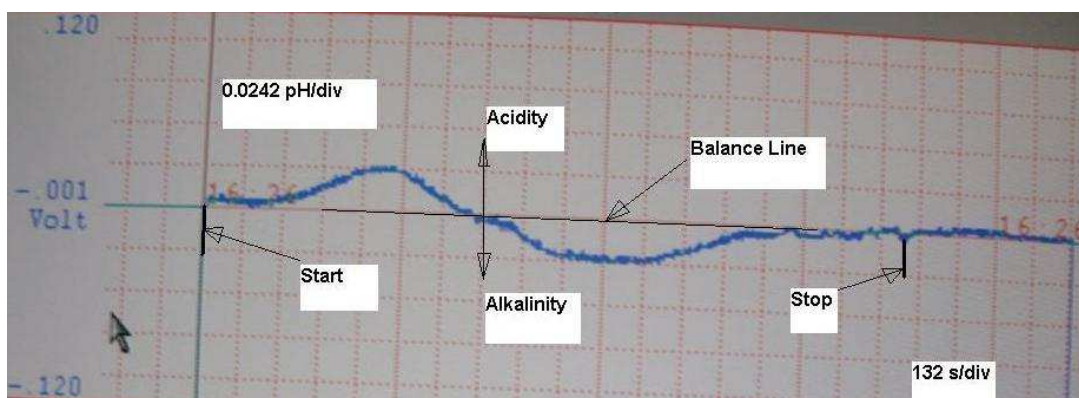


Рис. 15. Дифференциальная рН-метрия одинаковых порций воды, помещенных в противоположно- вращающиеся электрические поля 400 В/м, 3 МГц.

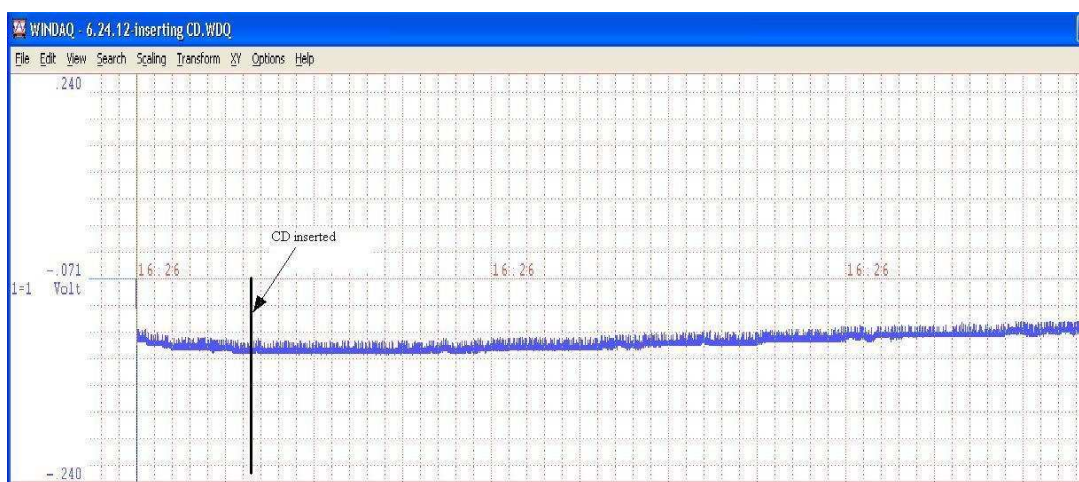


Рис. 16. Изменение рН воды под действием компакт-диска с технической программой. 0.024 рН/div.; 24 s/div.

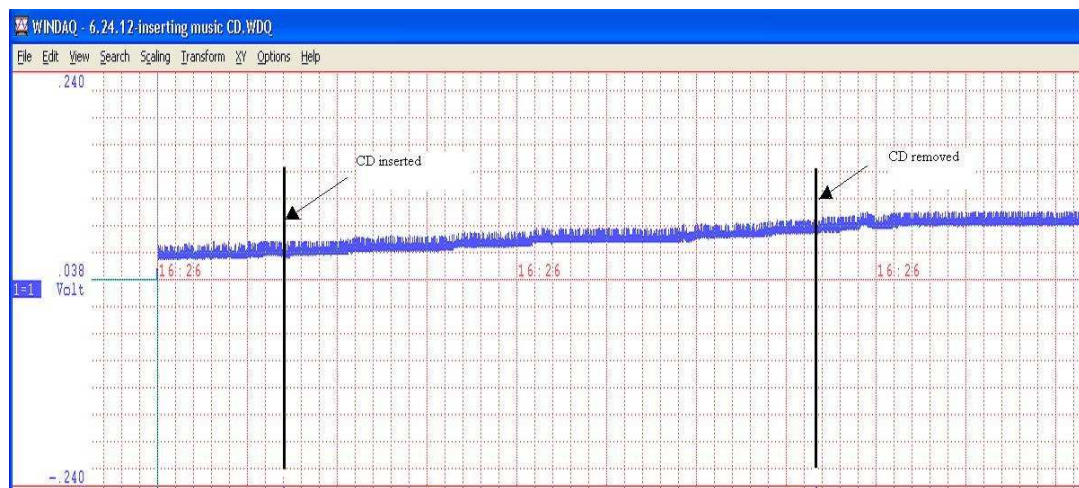


Рис. 17. Изменение pH воды под действием компакт-диска с музыкой. 0.024 pH/div.; 24 s/div.

Явление Инфо-Структурирующей Индукции перекликается с другими явлениями, наблюдавшимися в недавнее время в исследованиях по воде и применению спин-спиновых и ТП-датчиков на её основе. К ним можно отнести воздействие светодиодных излучателей на воду, возникновение двойных электрических слоев в системе металл-вода, датчики на их основе, и биметаллические системы, генерирующие фото-ЭДС, [14], [15], [16].

Недавно автором наблюдалось явление возникновения барьерной асимметрии двух одинаковых металлов в воде под влиянием разного цвета/химсостава и формы изоляции погруженных электродов, приводящей к появлению ЭДС, которая также чувствительна к вращению механических тел вблизи датчика. Данные предварительны, сообщены в Группу Second-Physics и исследование находится в самом начале.

К этому же инфо-структурирующему классу явлений принадлежит, возможно, генерация ЭДС в системе магнитных электродов в воде [17]. Наиболее вероятным механизмом здесь видится спин-спиновое взаимодействие магнит-вода.

Уже классическим стало упоминание опытов М.Эмото, показавшими зависимость структуры воды при кристаллизации от действия на неё информации из области человеческой морали.

Структурные изменения в воде под действием инфо-активации заметно проявляют себя на биологическом уровне. Исследование биологических эффектов не являлось целью данной работы, не содержит статистический анализ, и здесь носит только иллюстративный характер.

Удивительная инфо-восприимчивость воды объясняет соответствующую реакцию биологических систем, в избытке её содержащих, на информацию. Ранее предлагалось использовать куриное яйцо в качестве эталона биоэнергетики [18].

На Рис. 19 показан эксперимент, ранее сообщавшийся автором компании BodyWell и группе Second-

Physics, где органическое куриное яйцо подверглось действию информации, инжектированной в red card. О характере этой информации упоминалось в начале этой работы.

Измерялась ЭДС, генерируемая яйцом как продукт жизнедеятельности. Электроды из нитрида титана располагались на доньшке яйца и на меньшем диаметре. Применялся цифровой мультиметр MM6162L.

Инфо-карта располагалась на верхушке яйца в определенный момент времени после начала измерения. В процесс измерения карта удалялась и повторно возвращалась некоторое время спустя, о чем делались отметки на записи.

Как следует из записи, в момент 0, когда продолжалось устойчивое падение потенциала, карта помещалась на верхушке яйца (Card Installed) и начиналось резкое увеличение ЭДС. Это может быть интерпретировано как увеличение активности клеток яйца под действием биологически-положительной информации, индуцированной из карты. Первое удаление карты (Card Removed) приводит к почти мгновенному уменьшению ЭДС, а повторное размещение (Card Installed Again) на некоторое время замедляет падение потенциала, причем, его продолжающееся уменьшение после этого происходит уже в меньшем темпе.

Рис. 20 показывает результат действия инфо-активации той же компании на рост лука. Носителями информации являются специально обработанные полоски алюминия. Рост лука происходил в течение 1.5 месяцев в помещении с недостаточной освещённостью. Контрольный образец слева не содержит инфо-активатора.

Рис. 21 показывает стабилизирующее действие инфо-активированной карты на растение и воду. Срезанные растения в стаканчиках простояли несколько суток. Контрольное растение справа завяло, в то время как растение, подверженное действию Red Card на него и воду, продолжает функционировать.

Следует добавить, что биологические результаты

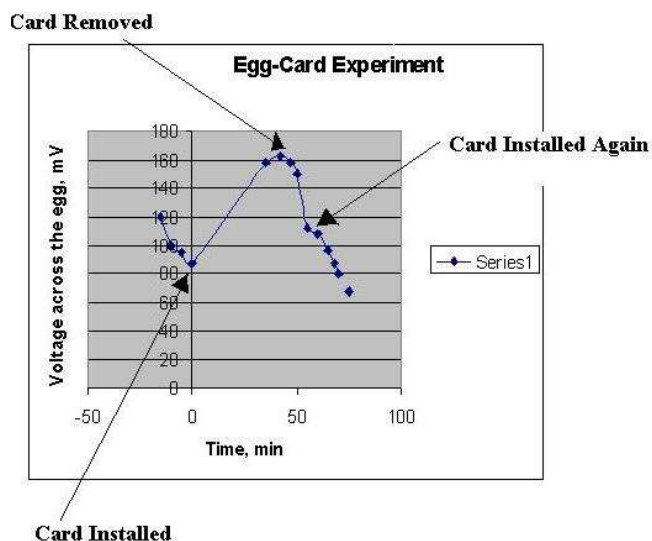


Рис. 19. Эффект генерации ЭДС органическим куриным яйцом при внесении инфо-карты, Red Card, с последующим её удалением и повторным возвратом.



Рис. 20. Действие инфо-активации на рост лука. Носителем информации является специально обработанная полоска алюминия, справа. Рост лука происходил в течение 1.5 месяцев в помещении с недостаточной освещённостью. Контрольный образец слева не содержит инфо-активатора.

действия специально инфо-активированных носителей совпадают с результатами исследований действия лазерного излучения на био-физические свойства воды, проводившиеся в 70-80-е годы XX века в СССР, в том числе и автором, [19], [20]. Тогда ещё не было известно о неэлектромагнитной компоненте лазерного излучения и Торсионные поля являлись предметом теоретических исследований физиков-одиночек.

Полученные тогда результаты увеличения био-физической активности воды только частично удалось объяснить в рамках Классической теории. Многие вопросы тогда оставались открытыми.

Сходство эффектов при лазерной активации воды



Рис. 21. Стабилизирующее действие инфо-активированной карты на воду и растение.

и показанных в данной работе позволяет говорить об идентичном механизме влияния структурирующей инфо-индуцированной информации на матричных носителях и спин-торсионных процессов действия лазерного и другого электромагнитного излучения на вещество.

III. Выводы

Некоторые теоретические аспекты Выводов являются субъективным мнением автора и не претендуют на полноту.

Индукция информации вызывает структурные изменения в объекте.

Специальная био-информационная обработка носителей карт BodyWell вызывает увеличение структурной упорядоченности под их действием. Это проявляется как выделение тепла при уменьшении энтропии объекта в методе DTA.

В Методе Дифференциальной pH-метрии для воды это проявляется как уменьшение активности ионов гидрония, регистрируемое прибором как увеличение щёлочности.

Излучение мобильного телефона приводит к обратным эффектам, но инфо-карты оказывают частичное стабилизирующее действие.

Геометрические контура в виде нарисованных спиралей оказывают различное действие на структуру воды, в зависимости от направления закрутки. Постоянная времени их действия тоже различна.

Такое же действие оказывают вращающиеся электрические поля разных направлений вращения.

Наблюдалось последствие инфо-носителей. Структурная перестройка продолжалась некоторое время после их удаления.

Наблюдался эффект шума при фазовых превращениях в DTA-экспериментах. Шум постепенно исчезал после удаления инфо-носителя.

Наблюдался Зеркальный Структурный Эффект – после внесения инфо-карты динамика структурных изменений начиналась разворачиваться в обратном направлении, зеркально повторяя предыдущую ДТА-картину в течение нескольких минут. То же происходило и при удалении инфо-карты. Эти результаты говорят о наличии структурной памяти воды и множестве дискретных подструктур, способных записывать информацию.

В некоторых случаях было отмечено упреждающее действие инфо-индукции ещё до внесения носителя под сосуд с водой.

Инфо-носители создавали Эффект Фантомов - после нескольких циклов экспериментов на одном и том же месте информация впечатывалась также в платформу стола для экспериментов. Для устранения их влияния контейнеры с водой периодически перемещались.

Ближний характер действия инфо-носителей на структурные изменения в веществе позволяет предположить спин-спиновое взаимодействие здесь.

В иерархии взаимоотношений Спин-спиновых и Торсионных эффектов уместна аналогия с дальней и ближней зонами излучающей антенны. Ближняя, Кулоновская – консервативно-потенциальная, и дальняя – волновая зона вихревого характера, являются проявлением одного и того же процесса.

IV. БЛАГОДАРНОСТЬ

Автор выражает признательность рецензентам и редакции Журнала за критическое прочтение статьи и замечания, улучшившие качество публикации.

СПИСОК ЛИТЕРАТУРЫ

- [1] А.В. Бобров. Явление информационного взаимодействия спиновых полей материальных объектов в биологии. Торсионные поля и информационные взаимодействия, Труды конференции, Москва, 2012, стр.151-162.
- [2] http://www.psim.com/ge/index.php/Walter_Zapf_Bioinformatics-Technologie.
- [3] <http://watersrevived.com/urmoor-bioinformatics-cup.html>.
- [4] <http://www.bodywellchip.com/how-it-works/science>.
- [5] https://www.nei.nih.gov/health/maculardegen/armd_facts.asp.
- [6] Ч. Уэрт, Р. Томсон. *Физика твёрдого тела*. Мир, Москва, 1969. 428-429.
- [7] A.E. Akimov, G.I. Shipov. Torsion Fields and Their Experimental Manifestations. <http://amaski.com/freenrg/tors/tors/htm>.
- [8] M.Krinker. Spinning Electric Vector Analyzer, SEVA. Theory of Operation and Experimental Test. Сборник: Биофизический Метод. Современные Исследования, Москва 2008, стр.5-31.
- [9] M.Krinker. Spin-Torsion Detection of Rotating Fields and Information of Geometric Figures. Influence of Electric Spinning and Images on pH of Water. <http://www.scribd.com/doc/78558702/Spin-Detector>.
- [10] M.Krinker. Spinning Process Based Info-Sensors. Conference: Torsion Fields and Informational Interactions, Moscow-2012, pp. 223-228.
- [11] Спин-фононное взаимодействие. Физика. Энциклопедия. Москва, 1999. стр. 714-715.
- [12] Gorokhov E., Zamsha V., Krinker M., Shkatov V. About a Probably Influence of External Consciousness (EC) On the Structure of Signals, Received by the Technical Receivers of Thin Fields. Сборник: Международная Конференция Новое в УФОлогии и Энергоинформационном Воздействии-УФО-2011, Москва, Российский Новый Университет.
- [13] M. Krinker, A. Goykadosh. Role of de Broglie Waves in Origination of Non-Linear Phenomena in Torsion Field and Spin-to-Spin Interaction Experiments. Conference LISAT-2013. Published in IEEE PDF-Express.
- [14] А.В. Бобров. Свойства Информационных Полей. Конференция: Биополевые Взаимодействия и Медицинские Технологии. Москва-2008, стр.102-106.
- [15] С. Кернбах. О Проникающей Способности Светодиодного Излучения На Малых И Средних Расстояниях. Торсионные поля и информационные взаимодействия, Труды конференции, Москва-2012, стр.98-114.
- [16] С.А. Герасимов. ЭДС и Фототок в жидкости. Современные наукоемкие технологии. Физики-математические науки, (1), стр.44-47, 2012.
- [17] Курик М.В., Курик А.М. Новый гальваномангнитный эффект. Торсионные поля и информационные взаимодействия, Труды конференции, Москва-2012, стр 216-219.
- [18] Курик М.В., Курик А.М. Вернад - константа биоэнергетики живого вещества. <http://aurasvit.com/archives/205>.
- [19] В.В. Инюшин. *Луч лазера и урожай*. Кайнар, Алма-Ата, 1980.
- [20] М.С. Кринкер, В.В.Петрушенко. Исследование влияния излучения гелий-неонового лазера на биофизические свойства воды. Отчет по исследованиям для НПО "Полярон", ОГУ, 1983.